

КОНСТАНТА СКОРОСТИ ИОНИЗАЦИИ ПРИ ВЫСОКИХ
ТЕМПЕРАТУРАХ. БОЛЬШИЕ КОНЦЕНТРАЦИИ ЭЛЕКТРОНОВ

Ю. П. Денисов, Н. М. Кузнецов

(Москва)

Функция распределения электронов и константа скорости ионизации атомов электронным ударом вычислены применительно к условиям, характерным для ударной волны, а именно распределение электронов по энергиям и константа скорости ионизации определяются как функции температуры тяжелых частиц. Энергетическая зависимость эффективного сечения возбуждения атома электронным ударом предполагается линейной. При решении задачи использованы уравнения типа Фоккера — Планка и определена область температур и концентраций, в которой отклонение распределения от максвелловского приводит к существенному изменению константы скорости ионизации.

Суммарная скорость ионизации электронным ударом, включающая в себя многоступенчатые переходы через возбужденные состояния атома, при высоких температурах пропорциональна количеству электронов, энергия которых достаточна для возбуждения первого уровня атома. В процессе такого возбуждения электрон теряет энергию $\Delta\varepsilon \geq E_1$ (E_1 — энергия первого возбужденного состояния, отсчитанная от основного уровня). Если средняя энергия электрона в несколько раз меньше $\Delta\varepsilon$, то в подавляющем большинстве случаев после столкновения, которое заканчивается возбуждением атома, электрон уже не обладает запасом энергии, достаточным для повторения подобного столкновения. Таким образом ионизационные столкновения приводят к уменьшению плотности электронов n ($\varepsilon > E_1$), способных возбудить атом, т. е. число n ($\varepsilon > E_1$), определяющее скорость ионизации, само зависит от этой скорости.

Задача определения константы скорости ионизации сводится к вычислению функции распределения электронов. Эта функция распределения в течение процесса ионизации в ударной волне отличается от равновесной и определяется балансом ухода электронов из области высоких энергий при неупругих столкновениях и восполнения этих потерь за счет упругих столкновений электронов с электронами, атомами и ионами.

Простой приближенный метод вычисления константы скорости ионизации газа в ударной волне развит Петчеком и Байроном [1]. Согласно [1] функция распределения электронов при всех энергиях полагается максвелловской и все ее отличие от равновесной заключается в том, что температура электронов T_e в процессе ионизации не равна температуре тяжелых частиц T . Температура электронов вычисляется при помощи релаксационного уравнения Л. Д. Ландау [2] с учетом затрат энергии электронов на ионизацию. Температура T_e даже при сильном отклонении состава газа от равновесного по порядку величины не отличается от T ($T_e < T$), но константа скорости ионизации, экспоненциально зависящая от температуры электронов, намного меньше своего равновесного значения, соответствующего равенству температур $T_e = T$. В дальнейшем вопрос об отклонении функции распределения электронов от равновесной за счет тех или иных неупругих процессов и о соответствующем изменении константы скорости ионизации или возбуждения атомов рассматривался в ряде работ (см., например, [3—7]). Данная работа является непосредственным продолжением исследования ионизации одноатомного газа в ударной волне, начатого Петчеком и Байроном. Отличие постановки задачи от [4] состоит в том, что функция распределения электронов не предполагается максвелловской.

1. Постановка задачи. Рассмотрим оптически плотный газ с постоянной температурой атомов T вдали от ионизационного равновесия, где рекомбинацией можно пренебречь. Температуру будем считать достаточно высокой для того, чтобы процесс ионизации не имел диффузионного характера и определялся кинетикой перехода атома из основного в первое возбужденное состояние. Прямыми переходами из основного состояния

на более высокие уровни пренебрегаем вследствие малости соответствующих сечений. Рассматриваемая схема ионизационного процесса реализуется в том случае, когда устанавливающаяся при ионизации квазистационарная заселенность первого возбужденного состояния n_1 много меньше своего равновесного¹ значения n_1^* .

Искомая граница температур, выше которой

$$n_1 \ll n_1^* \quad (1.1)$$

определяется из баланса электронов, находящихся на первом возбужденном уровне в квазистационарном приближении

$$dn_1/dt = 0 \quad (1.2)$$

Используя (1.2), можно показать, что заселенность n_1 при условии (1.1) определяется соотношением

$$n_1 = n_1^* \left(\frac{\sigma_{1e}}{\sigma_{10}} \exp \frac{E_1 - E}{T_e} + \frac{\sigma_{12}}{\sigma_{10}} \exp \frac{E_1 - E_2}{T_e} \right)^{-1}$$

где σ_{1e} — сечение перехода из первого возбужденного состояния в непрерывный спектр, σ_{ik} — сечение перехода между i и k связанными состояниями. Следовательно для выполнения (1.1), во всяком случае, достаточно потребовать

$$\exp(-I_1/T_e)(\sigma_{1e} + \sigma_{12})/\sigma_{10} \gg 1$$

где I_1 — потенциал ионизации из первого возбужденного состояния атома. Типичные значения отношения $(\sigma_{1e} + \sigma_{12})/\sigma_{10}$ по порядку величины [8-10] равны 10^2 . Отсюда для температурной границы получаем $5I_e > I_1$. Для атомов, у которых, как и в водороде, отношение потенциалов ионизации из первого и из основного состояний $I_1/I = 1/4$, неравенство можно записать в виде

$$20T_e > I \quad (1.3)$$

Кинетическое уравнение для функции распределения электронов $f(t, \varepsilon)$ имеет вид

$$\dot{f} = I_{ee} + I_{ea} + I_{ei} + I_i \quad (1.4)$$

В правой части уравнения (1.4) символами I_{ee} , I_{ea} и I_{ei} обозначены соответствующие интегралы столкновений электронов с электронами, атомами и ионами. Слагаемое I_i учитывает ионизацию.

Будем предполагать, что время релаксации энергии при электрон-электронном обмене энергией существенно меньше, чем при электрон-атомных упругих столкновениях. Это налагает определенное условие на концентрацию электронов $c = n_e/n_a$ (n_e и n_a — числа электронов и атомов в единице объема). Если обозначить через $\tau_{ee}(\varepsilon)$ и $\tau_{ea}(\varepsilon)$ соответственно электрон-электронное и электрон-атомное время релаксации, то условие, налагаемое на концентрацию, запишется в виде

$$\tau_{ee} \ll \tau_{ea} \quad (1.5)$$

Время релаксации

$$\tau(\varepsilon) \sim T^2 / \langle \partial(\Delta E)^2 / \partial t \rangle$$

где $\langle \partial(\Delta E)^2 / \partial t \rangle$ — средний квадрат изменения энергии электрона в единицу времени для данного типа столкновений в термодинамически равно-

¹ Имеется в виду равновесие по отношению к основному состоянию атома.

весной среде. Для электрон-электронных столкновений

$$\langle \partial (\Delta E_{ee})^2 / \partial t \rangle = 2^{3/2} \pi e^4 Q n_e T_e / (m \varepsilon)^{1/2} \quad (1.6)$$

где m — масса электрона, а Q — кулоновский логарифм. Для электрон-атомных упругих столкновений с сечением рассеяния σ_{ea} имеем

$$\langle \partial (\Delta E_{ea})^2 / \partial t \rangle = 2^{5/2} M^{-1} m^{1/2} \sigma_{ea} n_a T_e^{1/2}$$

где M — масса атома. Условие (1.5) с учетом того обстоятельства, что $e^4/\sigma_{ea} \sim I^2$, для области энергий $\varepsilon > E_1$ дает

$$c \gg m \varepsilon^2 / M I^2 \quad (1.7)$$

Кроме величин τ_{ee} и τ_{ea} в задаче есть еще один масштаб времени — характерное время ионизационной релаксации $\tau_i \sim (Kn_a)^{-1}$, где K — константа скорости ионизации. Наибольший практический интерес представляет случай, когда τ_i удовлетворяет неравенству

$$\tau_i \gg \tau_{ee} \quad (1.8)$$

Соотношения (1.5) и (1.8) позволяют значительно упростить кинетическое уравнение (1.4). В интервале $0 < \varepsilon < E_1$ нет неупругих столкновений электронов с невозбужденными атомами. Поэтому за время порядка τ_{ee} в этом интервале энергий устанавливается распределение Максвелла с температурой T_e , которое несколько нарушено вследствие столкновений с тяжелыми частицами, диффузионного потока энергии электронов в интервал $\varepsilon > E_1$, где есть большие потери на возбуждение, и вследствие неупругих столкновений с атомами, находящимися в высших возбужденных состояниях. Каждый из этих процессов лишь незначительно нарушает распределение Максвелла электронов.

Первый мало эффективен вследствие неравенства (1.5) и

$$\tau_{ee} \sim \tau_{ei} m / M \ll \tau_{ei} \quad (1.9)$$

Здесь τ_{ei} — время релаксации при упругих столкновениях электронов с ионами.

Второй источник нарушения распределения Максвелла мал, потому что в интервале $\varepsilon > E_1$ (в рассматриваемом диапазоне температур) в термодинамически равновесном газе находится экспоненциально малая часть общего числа электронов и, следовательно, экспоненциально мал поток энергии в отсутствие равновесия.

Третий процесс несуществен, потому что число атомов, находящихся в высших возбужденных состояниях, экспоненциально мало по сравнению с их общим числом. Таким образом, в интервале $\varepsilon < E_1$ имеется распределение Максвелла, и задача сводится к вычислению температуры электронов, которая может быть найдена из релаксационного уравнения для двухтемпературного газа с потерями энергии на ионизацию.

Можно показать, что для выполнения неравенства (1.8) температура T_e должна быть не слишком высокой, а именно $T_e < I \alpha^{-1}$, где $\alpha \sim 5 \div 6$. Из дальнейшего будет видно, что это условие, ограничивающее температуру сверху, для квазистационарной стадии ионизации в ударной волне всегда выполняется.

Для того чтобы написать релаксационное уравнение в замкнутом виде, необходимо сначала найти функцию распределения электронов при высоких энергиях $\varepsilon > E_1$, от которой зависит скорость ионизации. Отклонение функции распределения электронов от максвелловской в интервале

$\epsilon > E_1$ значительно больше, чем при малых энергиях. Это связано с тем, что при $\epsilon > E_1$ имеется интенсивный сток энергии. Сечения возбуждения атомов электронами близки к газокинетическим и при каждом таком столкновении теряется энергия $\Delta\epsilon \gg T_e$. Механизм, компенсирующий эти потери — упругие столкновения электронов с электронами и тяжелыми частицами, — характеризуется эффективными сечениями, тоже близкими к газокинетическим для электрон-электронных столкновений и в $\sim m/M$ раз меньшими для столкновений с тяжелыми частицами. Кроме того, эффективные кулоновские сечения при $\epsilon > E_1$ значительно меньше, чем при $\epsilon \sim T_e$.

Вследствие сильного нарушения распределения Максвелла электронов при $\epsilon > E_1$ интегралы столкновений I_{ee} , I_{ea} и I_{ei} относятся друг к другу обратно пропорционально соответствующим временам релаксации. Следовательно, в соответствии с (1.5) и (1.9) интегралами столкновений с тяжелыми частицами при энергиях $\epsilon > E_1$ можно пренебречь.

Восстановление равновесия в интервале $\epsilon > E_1$ происходит главным образом путем столкновений с электронами, имеющими энергию $\epsilon < E_1$ (таких электронов подавляющее количество), распределенных по Максвеллу и характеризующихся температурой T_e . Это значит, что восстановление равновесной функции распределения можно рассматривать как релаксацию в среде, имеющей температуру T_e . Интеграл столкновений I_{ee} можно представить в виде дифференциального соотношения фоккер-планковского типа, разлагая функцию распределения по величине передаваемой энергии при столкновении. Такая операция законна, поскольку все разложение умножается на сечение Резерфорда, имеющее острый максимум в области малых углов, которые как раз соответствуют малым передачам энергии. Учитывая все сказанное, можно представить (1.4) в виде уравнения типа Фоккера — Планка с источником

$$f = \frac{1}{\Phi(\epsilon)} \frac{\partial}{\partial \epsilon} \left[\frac{\varphi(\epsilon)}{2} \left\langle \frac{\partial}{\partial t} (\Delta E_{ee})^2 \right\rangle \left(\frac{\partial f}{\partial \epsilon} + \frac{f}{T_e} \right) \right] - \sigma_i(\epsilon) n_a \left(\frac{2\epsilon}{m} \right)^{1/2} f \quad (1.10)$$

Здесь $\langle \partial (\Delta E_{ee}) / \partial t \rangle$ определено формулой (1.6), плотность уровней $\varphi(\epsilon) = 4\pi m^{-3/2} (2\epsilon)^{1/2}$, σ_i — сечение возбуждения атома из основного состояния в первое, которое интерполируется линейной функцией от энергии [11, 12]

$$\sigma_i(\epsilon) = \sigma \theta(\epsilon - E_1)(\epsilon - E_1)/E_1$$

Здесь $\theta(x)$ — функция Хэвисайда, σ зависит от конкретного вида атомов. Для большинства элементов $\sigma \sim 10^{-16} \text{ см}^2$.

Уравнение (1.10) применительно к рассматриваемой задаче допускает дальнейшее упрощение. Введем функцию распределения, нормированную на один электрон $f = n_e f_1$. Тогда левая часть уравнения (1.10) запишется в виде

$$f = f_1 n_e + f_1 n_e$$

Согласно определению константы скорости ионизации K вдали от ионизационного равновесия, где можно не учитывать процесс рекомбинации, имеем

$$\dot{n}_e = K n_e n_a \quad (1.11)$$

Константа скорости ионизации связана с f_1 следующим образом:

$$K = \int_{E_1}^{\infty} \sigma_i \left(\frac{2\epsilon}{m} \right)^{1/2} f_1 \Phi d\epsilon \quad (1.12)$$

Сравнивая величину $f_1 n_e$ с последним членом в правой части уравнения (1.10) и учитывая, что в рассматриваемом температурном диапазоне имеет место неравенство

$$\int_{E_1}^{\infty} f_1(\varepsilon) \varphi(\varepsilon) d\varepsilon \ll 1$$

непосредственно получаем

$$K n_e n_a f_1 \ll \sigma_i(\varepsilon) n_e n_a (2\varepsilon/m)^{1/2} f_1$$

для всех $\varepsilon > E_1$ (кроме очень узкого интервала энергии вблизи порога возбуждения). Поэтому слагаемое $f_1 n_e$ в кинетическом уравнении (1.10) может быть опущено. Оставшееся в левой части (1.10) слагаемое $f_1 n_e$ обращается за время τ_{ee} в нуль, и весь дальнейший процесс ионизации происходит в квазистационарном режиме, который описывается уравнением¹

$$\frac{1}{\varphi(\varepsilon)} \frac{d}{d\varepsilon} \left[\frac{8\pi^2 Q n_e e^4 T_e}{m^2} \left(\frac{df_1}{d\varepsilon} + \frac{f_1}{T_e} \right) \right] - \sigma n_a \left(\frac{2\varepsilon}{m} \right)^{1/2} \frac{\varepsilon - E_1}{E_1} f_1 = 0 \quad (1.13)$$

2. Решение кинетического уравнения. Запишем уравнение (1.13) в безразмерных переменных $x = \varepsilon / T_e$, $\beta = E_1 / T_e$. Тогда вместо (1.13) имеем

$$f_1''(x) + f_1'(x) - \kappa x(x - \beta) f_1(x) = 0, \quad x > \beta \quad (2.1)$$

$$\kappa = \sigma n_a T_e^3 / \pi Q e^4 n_e E_1 = \kappa_0 / c^3, \quad \kappa_0 = \sigma E_1^2 / \pi Q e^4$$

Решение уравнения (2.1), удовлетворяющее граничному условию на бесконечности $f_1 \rightarrow 0$, $x \rightarrow +\infty$, имеет вид

$$f_1 = BD_p(z) \exp -x/2, \quad z = (4\kappa)^{1/4} (x - \beta/2)$$

$$p = -\frac{1}{2} + \frac{\kappa\beta^2 - 1}{8\sqrt{\kappa}}$$

Здесь $D_p(z)$ — функция параболического цилиндра [13]. Для дальнейшего удобно ввести безразмерные величины

$$\omega = (4\kappa)^{1/4}, \quad a = 1/2\beta\omega, \quad p = -1/2 + 1/4(a^2 - \omega^{-2})$$

В области энергий $0 < \varepsilon < E_1$ функция распределения незначительно отличается от максвелловской. Если пренебречь этим отличием и выбрать ее в виде

$$f_1 = (m/2\pi T_e)^{1/2} e^{-x}$$

то, как будет показано ниже, производные справа и слева при $x = \beta$ практически равны. Если учесть это обстоятельство, то постоянная B находится сразу, и окончательно функция распределения в области больших энергий запишется так:

$$f_1 = \left(\frac{m}{2\pi T_e} \right)^{1/2} \frac{D_p(\omega(\beta/2))}{D_p(a)} \exp \frac{-(x+\beta)}{2} \quad (2.2)$$

¹ Строго говоря, за время $t > \tau_{ee}$ устанавливается режим, при котором разность двух интегралов столкновений I_{ee} и I_i не равна нулю, но много меньше каждого из них.

Сделаем несколько замечаний относительно поведения функции $D_p(z)$. При достаточно малых ω , т. е. при достаточно больших концентрациях и низких температурах (большие β), индекс p принимает большие отрицательные значения. По мере уменьшения концентрации и роста температуры он уменьшается по модулю, при некоторых значениях c и β переходит через нуль и затем возрастает до значений ~ 10 . Дальнейшее возрастание ограничено условием (1.7).

В области малых температур и высоких концентраций искажающее влияние ионизации оказывается меньше всего, следовательно, в этой области вид функции распределения (2.2) ближе всего к максвелловскому. Пределу $\omega \rightarrow 0$ соответствует $z \rightarrow 0$, $p \rightarrow -\infty$, причем $z^2 p \rightarrow \text{const}$. Делая в (2.2) предельный переход, найдем (см. приложение), что

$$f_1(x) \rightarrow (m / 2\pi T_e)^{3/2} e^{-x} \quad (2.3)$$

3. Вычисление константы скорости ионизации и температуры электронов. Константа скорости ионизации K определяется интегралом (1.12). Этот интеграл проще всего вычислить, если воспользоваться уравнением (1.13), умножив его на $\varphi(\varepsilon)$ и интегрируя от E_1 до $+\infty$. Это дает

$$K = - \frac{8\pi^2 Q e^4 T_e c}{m^2} \left(\frac{d f_1}{d \varepsilon} + \frac{f_1}{T_e} \right) \Big|_{\varepsilon=E_1}$$

Подставив сюда выражение для функции распределения (2.2), получим

$$K = - \frac{V 2\pi Q e^4 c e^{-\beta}}{\sqrt{m} T_e^{3/2}} \left(1 + 2\omega \frac{D_p'(a)}{D_p(a)} \right) \quad (3.1)$$

Для вычисления (3.1) рассмотрим плоскость $c\beta$ и нанесем на нее линии равных индексов p , т. е. решения уравнения $p = \text{const}$.

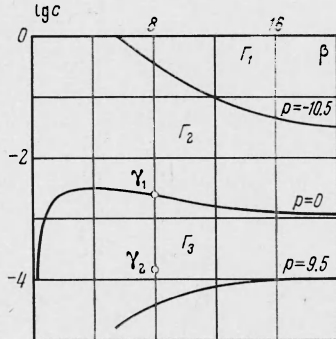
Точка γ_1 на графике соответствует равновесной концентрации для Не при $T_e = 2.46 \text{ эв}$ и плотности атомов $2.7 \cdot 10^{19} \text{ см}^3$. Точки, лежащие на вертикальной прямой ниже точки γ_1 , характеризуют состояние газа, в котором концентрация заряженных частиц меньше равновесной.

Линия $p = 0$ делит всю плоскость на две части. В верхней части индекс $p < 0$. Он возрастает по модулю при переходе от линии к линии вверх. В правом верхнем углу плоскости функция распределения переходит в максвелловскую. Этому соответствует предел (2.3). Ясно поэтому, что в области Γ_1 функция $D_p(z)$ определяется асимптотикой, полученной при условии $z \rightarrow 0$, $p \rightarrow \infty$ так, что $z^2 p = \text{const}$. Эта асимптотика найдена в приложении. Переходная область Γ_2 от асимптотики к значениям функции $D_p(z)$ при $p > 0$ достаточно узкая (индекс p в ней меняется от 0 до ~ -10).

В области Γ_3 плоскости $c\beta$ выражение (3.1) просто вычисляется для целых p , так как функция $D_p(z)$ в этом случае сводится к полиномам Эрмита H_p

$$D_p(z) = 2^{-1/p} \exp(-z^2/4) H_p(z / \sqrt{2})$$

Для вычисления константы скорости ионизации при дробных значениях p достаточно использовать линейную интерполяцию по p .



Фиг. 1

Перейдем теперь к определению температуры распределения Максвелла электронов при энергиях $\varepsilon < E_1$. Напишем уравнение баланса энергии с учетом электрон-атомных и электрон-ионных упругих столкновений и неупругих столкновений электронов с атомами, заканчивающихся ионизацией

$$\frac{d}{dt} \left(\frac{3}{2} T_e n_e \right) = \int_0^{\infty} I_{ea} \varepsilon \varphi d\varepsilon + \int_0^{\infty} I_{ei} \varepsilon \varphi d\varepsilon + \int_0^{\infty} I_i \varepsilon \varphi d\varepsilon \quad (3.2)$$

Слева в (3.2) стоит изменение энергии электронов со временем. Этот член можно представить в таком виде, потому что подавляющее число электронов имеет максвелловскую функцию распределения с температурой T_e . Учитывая, что атомы и ионы распределены по Максвеллу с температурой T , выражению (3.2) можно придать вид

$$T_e = - (I + T_e) n_a K - \frac{32 \sigma_{ea} n_a \sqrt{m T_e}}{3 \sqrt{2\pi M}} (T_e - T) - \frac{4 \sqrt{2\pi e^4 Q n_e}}{3 M T_e^{3/2}} (T_e - T) \quad (3.3)$$

Здесь учтено, что производная $d n_e / dt$ определена (1.11). Будем искать решение уравнения (3.3) в квазистационарном приближении, т. е. пренебрежем зависимостью T_e от времени, тогда из (3.3) сразу получим

$$T = T_e \left\{ 1 + \left(1 + \frac{I}{T_e} \right) \frac{3}{4} \frac{M}{m} \left(1 + \frac{4 \sigma_{ea} T_e^2}{\pi Q e^4 c} \right)^{-1} \left(-1 + 2 \omega \left| \frac{D_p'(a)}{D_p(a)} \right| \right) e^{-\beta} \right\} \quad (3.4)$$

Функция T_e примерно логарифмически зависит от T и от других параметров, входящих в трансцендентное уравнение (3.4). Поэтому при любых разумных значениях параметров электронная температура в квазистационарной стадии ионизации ограничена сверху. Так, например, если $T \sim I$, то $T_e \sim I/5$.

4. Анализ результатов. Учет отклонения функции распределения электронов от максвелловской приводит к уменьшению константы скорости ионизации при заданном значении T_e . Если функция распределения электронов при всех энергиях характеризуется температурой T_e , то, как известно

$$K(T_e) = \frac{4\sigma}{\sqrt{2\pi m}} \left(1 + \frac{2}{\beta} \right) e^{-\beta}$$

Введем

$$K = K(T_e) \Pi$$

Поскольку в области Γ_1 «хвост» распределения искажен слабо, функция Π там мало отличается от единицы. В самом деле, из (3.1) получим для Π выражение, которое можно разложить по степеням ω , воспользовавшись малостью этой величины в области Γ_1

$$\Pi = 1 - \omega^2 + O(\omega^4)$$

Наибольшего отличия Π от единицы следует ожидать в области Γ_3 , потому что в ней функция распределения сильно искажена. Сделаем вычисления для целых $p = n$ и всем величинам будем приписывать соответствующий номер. Из уравнений $p = n$ определяются зависимости кон-

центраций от температуры

$$c_n(\beta) = \kappa_0 [\beta + 8(n + 1/2)(1 + 16\beta^{-2}(n + 1/2)^2)^{1/2} + 32\beta^{-1}(n + 1/2)^2]^{-1}$$

Функции Π_n можно получить из общего результата (3.1). Результаты вычислений удобно представить в виде графика.

Состоянию газа Не, описываемому точкой γ_2 на фиг. 1, соответствует точка γ_3 на фиг. 2. Из графика видно, что в области Γ_3 учет искажения хвоста распределения приводит к существенному изменению константы скорости ионизации. По мере уменьшения концентрации это изменение возрастает. Случай малых концентраций, не отвечающих неравенству (1.7), т. е. таких, при которых становятся существенными упругие столкновения электронов с атомами в области больших энергий, отличается рядом особенностей. Этот случай в данной работе не рассматривается.

Осталось показать законность спивки функции распределения (2.2). Производная слева получается дифференцированием максвелловского распределения и в точке $x = \beta$ равна $-T_e(m/2\pi T_e)^{3/2}e^{-\beta}$. Производная справа получается из выражения (2.2), которое в области Γ_1 весьма близко к (2.3). Наибольшее отличие в производных достигается в области Γ_3 , где становятся существенными искажающие эффекты ионизации. Тем не менее возможность спивки все еще сохраняется. Например, для $n = 0$ производная справа равна

$$-T_e \left(\frac{m}{2\pi T_e} \right)^{3/2} e^{-\beta} \left[\frac{1}{2} + \frac{1}{2} \left(1 + \frac{4}{\beta} \left(1 + \frac{4}{\beta} \left(1 + \frac{4}{\beta^2} \right)^{1/2} + \frac{8}{\beta^3} \right)^{1/2} \right) \right] \quad (4.1)$$

Выражение в квадратных скобках (4.1) практически не отличается от единицы всюду, где выполнено неравенство (1.3).

Приложение. Найдем асимптотический вид функции $D_p(z)$ при условии $z \rightarrow 0$, $p \rightarrow -\infty$, $z^2 p \rightarrow \text{const}$. Воспользуемся интегральным представлением для функции $D_p(z)$ в случае отрицательных p

$$D_p(z) = \frac{1}{\Gamma(-p)} \int_0^\infty \exp \left(-\frac{z^2}{4} - zx - \frac{x^2}{2} \right) \frac{dx}{x^{p+1}} \quad (1)$$

Вычислим этот интеграл методом перевала. Для перевальной точки x_0 получим

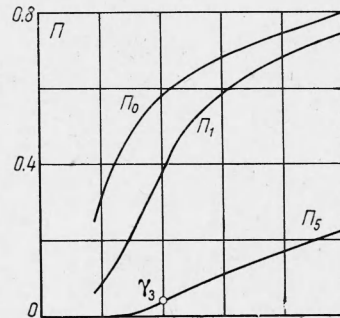
$$2x_0 = (z^2 + 4k)^{1/2} - z, \quad k = -(p + 1)$$

Теперь (1) принимает вид

$$\frac{1}{\Gamma(-p)} \exp \left(-zx_0 - \frac{x_0^2}{2} + k \ln x_0 - \frac{z^2}{4} \right) \int_0^\infty \exp \left[\left(-1 - \frac{k}{x_0^2} \right) \frac{(x - x_0)^2}{2} \right] \quad (2)$$

Выражение (2) с большой точностью равно (1), если

$$x_0 \gg (1 + k/x_0^2)^{-1/2} \quad (3)$$



Фиг. 2

Неравенство (3) на плоскости $c\beta$ определяет область применимости искомой асимптотики в данной задаче. Численный анализ его показывает, что асимптотика хорошо представляет собой функцию $D_p(z)$ при $p \lesssim -10$. При выполнении условия (3) интеграл (2) легко вычисляется. Результат с точностью до члена z^2 / \sqrt{k} имеет вид

$$\frac{\sqrt{\pi}}{\Gamma(-p)} \left(1 - \frac{z}{4\sqrt{k}}\right) \exp\left[\frac{k}{2}(\ln k - 1)\right] \exp\left(-z\sqrt{k} - \frac{z^2}{8}\right)$$

Поступила 13 IV 1970

ЛИТЕРАТУРА

1. Petschek H. E., Upton S. Approach to equilibrium ionization behind strong shock waves in argon. In: The threshold of space. London — New York — Paris — Los Angeles, 1957.
2. Ландau Л. Д. Кинетическое уравнение в случае кулоновского взаимодействия. ЖЭТФ, 1937, т. 7, вып. 2.
3. Каган Ю. М., Лягушенко Р. И. О функции распределения электронов по энергиям в положительном столбе разряда. Ж. техн. физ., 1964, т. 34, № 5.
4. Wojciech K. Die Annäherung der Geschwindigkeits-verteilung der Elektronen an die Maxwell — Versteilung im Bereich der unelastischen stöße. Beiträge Plasma-physik, 1965, Bd 5, Н. 3.
5. Ульянов К. Н. Функция распределения электронов по скоростям в неравновесной плазме. Теплофизика высоких температур, 1966, т. 4, № 3.
6. Берман Л. М., Воробьев В. С., Якубов И. Т. Неравновесная низкотемпературная плазма, II. Распределение по энергиям свободных электронов. Теплофизика высоких температур, 1968, т. 6, № 3.
7. Берман Л. М., Воробьев В. С., Якубов И. Т. К теории ионизации и рекомбинации в низкотемпературной плазме. ЖЭТФ, 1969, т. 56, вып. 6.
8. Seaton M. J. The theory of excitation and ionization by electron impact. In: Atomic and molecular processes. New York — London, Acad. Press, 1962. (Рус. перев.: Теория возбуждения и ионизации электронным ударом. Сб. «Атомные и молекулярные процессы», М., «Мир», 1964).
9. Ионих Ю. З. Эффективные сечения возбуждения гелия электронным ударом из состояния 2^1S . Оптика и спектроскопия, 1969, т. 26, вып. 1.
10. Gryzinski M. Classical theory of atomic collisions, I. Theory of inelastic collisions. Phys. Rev., Ser. 2, 1965, vol. 138, No. 2.
11. Hasted J. B. Physics of atomic collisions. London, Butterworths, 1964. (Рус. перев.: Физика атомных столкновений. М., «Мир», 1965).
12. Корчев Ю. П., Прожанская А. М. Эффективные сечения возбуждения и ионизации атомов цезия, рубидия и калия электронным ударом в припороговой области. ЖЭТФ, 1966, т. 51, вып. 6.
13. Граштейн И. С., Рыжик И. М. Таблицы интегралов, сумм, рядов и произведений, Изд. 4. М., Физматгиз, 1963.